

III-138 著しい圧縮性を示す土の非線型圧密理論

四日本工業大学 正員 安原一哉
九州大学工学部 正員 山内豊聯

1. まえがき

Terzaghi の圧密理論における多くの仮定を除去して、一般化させることによって、より厳密性をもたらすとする試みが最近の圧密論の動向のようである。されども圧密過程時の応力ヘビスミトに関する線型の仮定は、正規圧密粘土において実験的に得られる(1)式としばしば矛盾する。

$$\epsilon = \epsilon_0 - C_n (\log \sigma' - \log \sigma'_0) \quad (1)$$

これに基いて Davis らおよび Barden らは、Terzaghi 理論を修正して非線型圧密理論を導いている。¹⁾ 手法 ³⁾ は別の見地から、応力ヘビスミトの非線型式にもとづく圧密理論を導いた。

ところで、著者らは泥炭等の著しい圧縮性を示す土の ϵ ヘ σ' の関係を調べた結果、多くの場合(1)式よりは次式で表わす方がより実験事実に近く便利であることがわかった。

$$\epsilon = \epsilon_0 - (1+\alpha) \sigma'^m \quad (2)$$

ここで m は定数である。(2)式における σ' と ϵ の関係には、

$$\epsilon = \alpha \sigma'^m \quad (3)$$

なる関係があることを示しており、これに基いて泥炭等の著しい圧縮性を示す土の一次元圧密理論式を導いた。理論式の数値計算は十分には得られていないが、Terzaghi 理論の結果と比較することによって、泥炭等の圧縮性の著しい土の圧密について、二、三の興味ある事実がわかつて報告する。なお本文では二次圧密の影響は考慮に入れていない。

2. 理論式について

修正理論式の説明の詳細については省略する。用いた仮定は応力ヘビスミトの線型性を除いては、Terzaghi 理論と同一であるが、さらに一般性を与える意味で、圧密係数 C_n が圧密時に変化する実験事実を考慮に入れた場合についても検討を行つたが、その点については次節に譲ることとし、今回 $C_n = \text{constant}$ の場合に限って報告する。

得られた理論式は次の通りである。

$$\frac{\partial \sigma'}{\partial t} = C_n \left\{ \frac{1}{q} (m-1) \cdot \left(\frac{\partial \sigma'}{\partial z} \right)^2 + \left(\frac{\partial^2 \sigma'}{\partial z^2} \right) \right\} \quad (4-a)$$

あとは、

$$\frac{\partial u}{\partial t} = -C_n \left\{ \frac{1}{q} (m-1) \cdot \left(\frac{\partial u}{\partial z} \right)^2 - \left(\frac{\partial^2 u}{\partial z^2} \right) \right\} \quad (4-b)$$

(4-a)式において、 $m=1$ と仮定すれば(あはから(3)式において $\epsilon = \alpha \sigma'$ と仮定して Terzaghi 理論に対応する)、

$$\frac{\partial \sigma'}{\partial t} = C_n \cdot \frac{\partial \sigma'}{\partial z^2}, \quad \frac{\partial u}{\partial t} = C_n \cdot \frac{\partial u}{\partial z^2} \quad (5-a, b)$$

となり、Terzaghi の理論式に同一となる。つまり(あはから(3)式)、Terzaghi の理論式は(4)式の特例の場合と考えてよかである。

3. 理論式の解

(4)式は非線型であるが、次のよう^に変数変換することで解くことができる。

$$\lambda = (\sigma'_f / \sigma'_0)^m \quad (6)$$

ここで、 σ'_f , σ' , U の間に図-1.のような関係があり、記号の意味は次の通りである。 σ'_f : 最終状態における有効応力、 σ'_0 : $t=0$ における有効応力、 σ' : 压密中の任意時刻における有効応力、 U_0 : $t=0$ における固めき水圧、 U : 压密中の任意時刻における固めき水圧である。(6)式に $\lambda > 2$ を代入すれば、

$$\partial \lambda / \partial t = c_n \partial^2 \lambda / \partial z^2 \quad (7)$$

となり、(7)式はTerzaghi理論式と同形になる。ただし、境界条件は次のように定まる(両面排水の場合)。

$$t=0, z>0 \text{において}, \lambda = \lambda_0 \quad (8-a)$$

$$z=0, t>0 \text{において}, \lambda = 1 \quad (8-b)$$

$$z=2H, t>0 \text{において}, \lambda = 1 \quad (8-c)$$

境界条件を簡単するため、

$$\theta = (\lambda - 1) / (\lambda_0 - 1) \quad (9)$$

とおくと、(7)式は、

$$\partial \theta / \partial t = c_n \partial^2 \theta / \partial z^2 \quad (10)$$

となり、境界条件も

$$t=0, z>0 \text{において}, \theta = 1 \quad (11-a)$$

$$z=0, t>0 \text{において}, \theta = 0 \quad (11-b)$$

$$z=2H, t>0 \text{において}, \theta = 0 \quad (11-c)$$

のよう^に変る。(11)式の境界条件のもとで(10)式は容易に解ける。

$$\theta = \sum_{n=1}^{\infty} \left[1 - (-1)^n \right] \cdot \frac{2}{n\pi} \cdot \left[\exp \left(-c_n \frac{\pi z}{4H^2} t \right) \right] \sin \frac{n\pi z}{2H} \quad (12)$$

(12)式は(7)式と同形である。

4. 压密度について

i) 壓密直角における固めき水圧 U と圧密度 U_k は次のよう^にして求められる。 (9) 式より、 $\lambda = \theta(\lambda_0 - 1) + 1$ と $\lambda = (\sigma'_f / \sigma'_0)^m$ 、 $\lambda_0 = (\sigma'_0 / \sigma'_f)^m$ を代入し、固めき水圧 U について解けば、

$$U = \sigma'_f \left[1 - \left\{ \theta \left(q^m - 1 \right) + 1 \right\}^{\frac{1}{m}} \right] \quad (13)$$

となる。 $q > 1$ 、 U_k は、

$$\begin{aligned} U_k &= 1 - U / U_0 \\ &= 1 - \left[1 - \left\{ \theta \left(q^m - 1 \right) + 1 \right\}^{\frac{1}{m}} \right] \end{aligned} \quad (14)$$

となる。ここで、 $q = (\sigma'_0 / \sigma'_f)$ である。

ii) 壓密直角におけるビズミ γ と圧密度 U_k は

$$\begin{aligned} \gamma &= (\ell_0 - \ell) / (\ell_0 - \ell_f) \\ &= (\sigma'_0^m - \sigma'^m) / (\sigma'_0^m - \sigma'_f^m) = 1 - \theta \end{aligned} \quad (15)$$

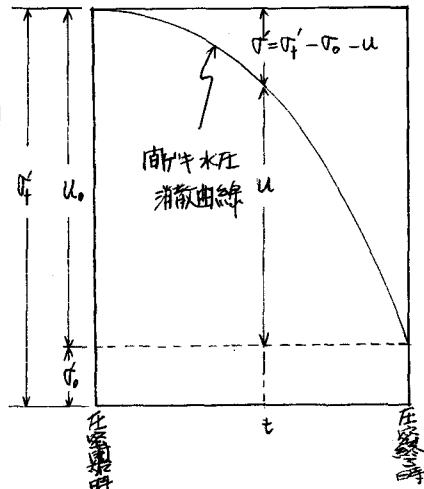


図-1.

となる。すなはち、ビズミについての圧密度は Terzaghi 理論と同一となり、(1)式を仮定して Tidwell's の理論と同一の結論を得られる。

i), ii) より固い水压に関する圧密度とビズミに関する圧密度とは異分子となり(左), 従来の理論と考え方併せてみると、圧密現象を熱伝導と相似の現象であるとして、一般化を講ずる際は、固い水压についての (5-b) 式すなはち、三笠理論によるビズミについての、

$$\frac{\partial \epsilon}{\partial t} = C_v \cdot \left(\frac{\partial^2 \epsilon}{\partial z^2} \right) \quad (4b)$$

である方が適當であることになる。

5. 数値計算結果と考察

固い水压についての圧密度に関する詳細な数値計算が得られていないので、1例を報告するに止める。

(4)式において、

$$g = \left(\frac{U_0'}{U_f} \right) = U_0' / (U_0' + u_0) = 1 / (1 + u_0/U_0) = 1 / (1 + \Delta p_f) \quad (17)$$

であるから、 g は荷重増加比 $\Delta p_f/p$ によってきます。

例として $\Delta p_f = 0.5$ ($g = 0.667$), 2.0 ($g = 0.333$) の場合を取り上げる。また m は $\log e \sim \log t$ における直線部の傾きを表わすものであるが、著者らの実験結果および大平らの実験結果⁴⁾によれば多くの場合 $m = 0.4 \sim 0.5$ ほど(直線部分)である⁷, $m = 0.5$ と仮定して。 $g = 0.667$ の場合の isocrone を図-2. に、 $g = 0.333$ の場合の isocrone を図-3. に示す。また夫々の場合についての平均圧密度 \bar{U} と時間係数 T_r の関係を Terzaghi 理論と比較して図-4. に示す。

本論文は isocrone は、Terzaghi 理論によるものに比べていかにも左側に現われ、固い水压の消散を遅延するとかわゆる。されば、Terzaghi の理論によつて求められた圧密時の有効応力は、せん断抵抗率を約3倍に高められた値となることになる。

平面ひずみ計算結果からつきり結論はできないが、 Δp_f が大きいか、消散の遅延が著しいほどであるがこの点についての詳細な検討は早急に行ないたいと考えである。

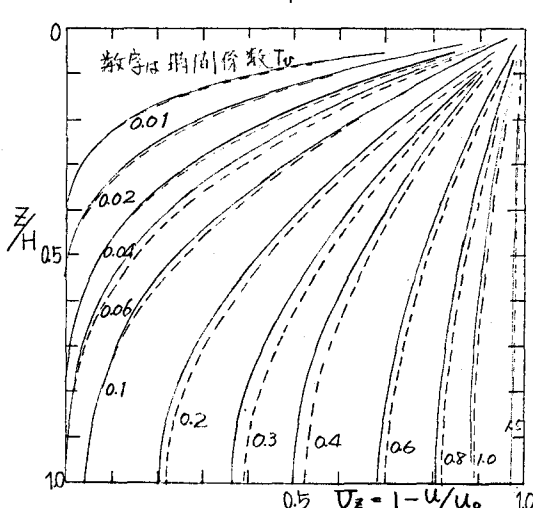


図-2. $m=0.5, g=0.667$ の場合の isocrone
(実験は Terzaghi 理論によると)

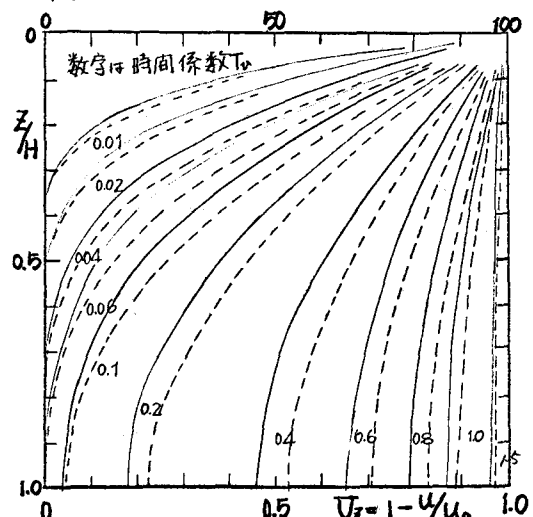


図-3. $m=0.5, g=0.333$ の場合の isocrone
(実験は Terzaghi 理論によると)

6. あとがき

- 以上をまとめると次のようになります。
- 本文では、応力へビズミの非線型式に基づいた一般的な圧密理論式が得られる。
 - 熱伝導と相似の現象として、圧密現象の一般化を論ずるに当っては、固い水压についてよりは、ビズミによる(16)式が表わ方が妥当である。
 - 本理論によれば、泥炭等の著しい圧縮性を示す土の固い水压の消散は、Terzaghi理論によるものよりもより遅延し、これによってせん断抵抗等を求め際に(1)有効応力を危険側に見積ることになり注意を要する。

- 固い水压の消散は (η/η_0) の値が大きいほど遅延するであろうが、これについてはもと詳細な検討を行なう。
- なお、i)他の非線型圧密理論との比較、ii) C_u の変化を考慮に入れた場合についての検討結果は次回に報告する予定である。

参考文献

- Daniel, E. H. and G. P. Raymond (1965): Non-linear Theory of Consolidation, *Geotechnique*, Vol. 15
- Barden, L. and P. L. Berry (1965): Consolidation of Normally Consolidated Clay, *Proc. Am. Soc. Civ. Engrs.*, 91-ASME-15
- Janbu, N. (1965): Consolidation of Clay Layers Based on Non-linear Stress-Strain, *Proc. 6th Int. Conf. S.M.F.E.*, 2-83
- 大平至徳・小谷章 (1968) : 軟弱土の固い水压への圧密についての一考察, 第23回土木学会年次学術講演会講演概要

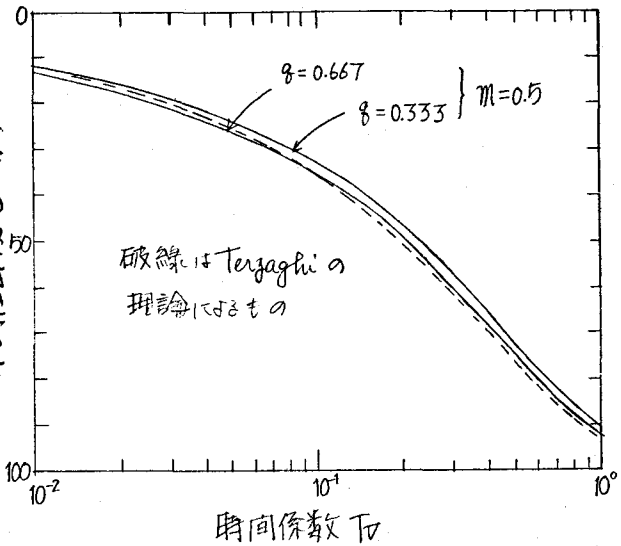


図-4. $m=0.5$ の場合の圧密度と時間係数の関係